

PAPER DETAILS

TITLE: Elastin Çözeltilerinin Viskoelastik Karakterizasyonları

AUTHORS: Guler Bengusu TEZEL

PAGES: 922-926

ORIGINAL PDF URL: <https://dergipark.org.tr/tr/download/article-file/1515100>

Araştırma Makalesi / Research Article

Elastin Çözeltilerinin Viskoelastik Karakterizasyonları**Guler Bengusu TEZEL***Bolu Abant İzzet Baysal Üniversitesi, Mühendislik Fakültesi, Kimya Mühendisliği Bölümü, Gölköy Yerleşkesi, 14030, Bolu*Sorumlu yazar e-posta: gulerbengusutezel@ibu.edu.tr ORCID ID: <https://orcid.org/0000-0002-0671-208X>

Geliş Tarihi: 17.01.2021 Kabul Tarihi: 31.07.2021

Öz**Anahtar kelimeler**

Elastin; Reoloji;
Doğrusal
viskoelastiklik;
Doğrusal olmayan
viskolelastiklik

Bu çalışmada, izole ağırlıkça %0,1-%3 (w/w) elastin sulu çözeltilerinin viskoelastik karakterizasyonları incelenmiştir. Doğrusal ve doğrusal olmayan viskoelastik testleri reometre kullanılarak gerçekleştirilmiştir. Düşük derişimlerde, Newtonumsu akış özellik gösterirken, özellikle %2, %2,5 ve de %3' de artan elastik davranışları ile Newtonumsu olmayan viskoleastik akış özellikleri hakim olmaktadır. Bu kapsamda, eşik akış streslerine de yüksek derişimlerde rastlanmaktadır. Frekans aralığı 0.1-10 s⁻¹ de tutulan, elastik modül (G') ve viskoz modül (G'') değişimlerinin frekans değişimi ile doğrusal davranışının gözlenmiştir. Artan derişimlerle, G' modülün G'' modülüne göre daha yüksek olduğu tespit edilmiştir. Ayrıca, %3' lük elastin çözeltisinin dondururak kurutma yöntemi kullanılarak taramalı elektron mikroskopuya, hidrojel yapılarının oluşumu gözlenmiştir.

Viscoelastic Characterizations of Elastin Solutions**Abstract**

In this study, viscoelastic characterizations of isolated 0.1%-3% (w/w) elastin solutions were investigated. Linear and non-linear viscoelastic test were performed by using rheometer. At low concentrations, solutions behaves Newtonian flow, especially for 2%, 2.5%, 3% of elastin solutions have non-Newtonian viscoelastic flow properties. In this context, yield stress are also observed at high concentration values. It is indicated that elastic modulus (G') and viscous modulus (G'') change linearly within the frequency range of 0.1- 10 s⁻¹. G' and G'' are found to be increased with increased concentration of elastin. In addition, 3% of elastin solutions using freeze dried method were analyzed with scanning electron microscopy, and hydrogelling formations are observed.

© Afyon Kocatepe Üniversitesi

1. Giriş

Elastin, son dönemde kozmetik dünyasında, şampuan, yaşılandırma karşıtı kremlerin yapısında sıkılıkla kullanılan, inek, sığır kaslarından ya da çeşitli rekombinant gen teknikleri kullanılarak izole edilebilen bir proteindir (Kristensen ve Karsdal, 2016). Omurgalı dokularının ana yapısını oluşturan cildin, ciğerlerin, birçok kasın elastikliğini sağlayan fibröz proteinlerinden olan elastin proteini (EL) günümüzde izole ya da karışım hallerinde doku mühendisliği çalışmalarında oldukça yoğun ilgi görmektedir (We et al. 2020, Nieve et al. 2016). EL, kolajenden sonra cildin yapısında en fazla bulunan ve de cildin karakteristik esnekliğine önemli ölçüde katkı sağlayan proteindir (Mithieux et al. 2005,

Saxene et al. 2004). EL, sağlıklı bireylerde, tahmini olarak 70 yıllık bir yarılanma ömrüne (Patterson et al. 2002) ve de 300- 600 kPa arasında değişen mukavemeti, 100-220% arasında değişen maksimum uzama değerlerine sahip olan önemli bir protein grubudur (Fung 1993). Oldukça yüksek geri dönme katsayılarına sahip elastin moleküllerinin davranışları rastgele zincir modeli ile açıklanabilmekte ve elastinin biyomekanik olarak kauçuk gibi davranışıldığı gözlenmektedir (Saxene et al. 2004).

Malzeme ve doku bilimi açısından, biyo-baskılama yöntemiyle elastin üretimi ve de canlı dokuya nakli oldukça ilgi çeken çalışmalar arasında (An et al. 2014, Cung et al. 2015, Nuutila et al. 2015) yer almada, bunun yanı sıra, çözelti halindeki viskoelastik yapısının araştırmasına dair az sayıda reolojik çalışma bulunmaktadır. Reolojik çalışmalarında izole elastinden çok karışım halinde elastin benzeri polipeptid (ELP) çözeltileri ve hidrojelleri kullanılmıştır.

Xu ve dig. (2012) yaptıkları çalışmada sistein aminoasiti içeren elastinimsi polipeptid (Cys-ELP) çözeltisi ve hidrojeli kullanılmıştır. Cys-ELP çözeltileri düşük kayma hızlarında yüksek viskozite değerlerine sahiptir. Bu tür yüksek viskozite davranışlarının ara yüzey çapraz bağlanma yapılarından dolayı kaynaklandığını ileri sürülmektedir. Öte yandan, yüksek kayma hızlarında ise bu tür yapılışmaların kırıldığını ve de viskozitenin azaldığı gözlenmiştir. Sugawara-Narutaki ve dig. (2019) ELP'ler üzerine yaptıkları çalışmada, çok düşük konsantrasyondaki nano dispersiyonlarında dahil elastik davranışların viskoz davranışlara göre daha hakim olduğu tespit edilerek, bunun sebebi nano küresel fiber parçacıkların uzunluk ve çap oranının yüksek olmasından kaynaklanmasıına bağlanmıştır. Otto (2015), yaptığı tez çalışmada, ELP çözeltilerinin reolojik davranışlarının 20-45 °C sıcaklık aralığında değişimlerine bakmışlardır. Artan sıcaklıkla elastik davranışlarının azaldığını öte yandan viskoz davranışlarının arttığı rapor edilmiştir. Cipriani ve dig. (2019), elastinimsi biyoaktif hidrojeli üzerinde yaptıkları reolojik çalışmalarında $G'(\sim 960 \text{ Pa})$ değerlerinin $G''(\sim 28 \text{ Pa})$ değerlerine göre oldukça yüksek olduğu tespit edilerek, kemik doku yenilenmesinde önemli rol aldığı gözlenmiştir. Contessotto ve dig. (2021), yaptığı güncel çalışmada, elastinimsi hidrojelin zamana bağlı olarak 4 °C'de ($G' \sim 50 \text{ Pa}$) düşük jelimsi özellik gösterirken, 37 °C'de artan elastik modül değerleri ile ($G' \sim 750 \text{ Pa}$) jelimsi özelliklerinin hızlı bir şekilde artmış olduğu gözlenmiştir. Bu yüksek jelleşebilmeminin koyun kalp dokusunda hızlı doku yenilenmesine ve mukavemet artışı sağladığını bulmuşlardır.

Sonuç olarak, izole elastin ya da elastin polipeptidin proteinimsi yapısı, yüksek mukavemetik özellikleri, biyolojik uyumlu malzeme olması yenilik ve de çığır

açıcı malzeme olarak görülmektedir. Güncel literatür çalışmalarında elde edilen bilgiler ışığında, elastin çözeltilerinin mekanik özelliklerinin araştırılmasında reoloji önemli bir araçtır. Bu kapsamında, bu çalışmada izole elastin proteinin doğrusal ve doğrusal olmayan viskoelastik testleri yapılmıştır. Burdan elde edilecek sonuçların, gelecekteki elastin içereklı malzeme tasarımlarında oldukça önem arz edeceği beklenmektedir.

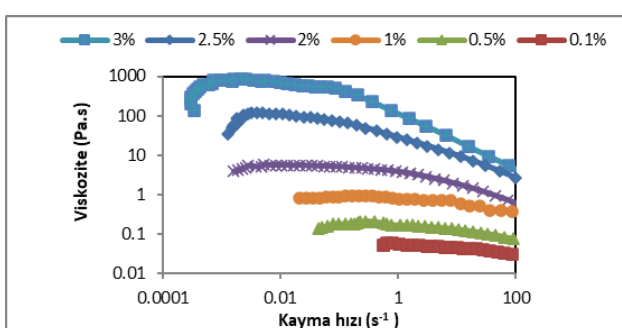
2. Materyal ve Metot

Elastin (Sigma Aldrich, 9007-58-03, soluble, lyophilized powder form) toz hali suda 25 °C de 48 saat karıştırıldıktan sonra, ağırlıkça (w/w) %0.1-%3.0 elastin çözeltileri hazırlanmıştır. Çalışmada kullanılan viskoelastik malzemelerin dinamik mekanik karakterizasyonları, dinamik kayma hızı ölçümleri ve düşük salınımlı osilasyon testleri stres kontrollü cone-plate reometresi (Malvern Kinexus Pro, UK) kullanılarak gerçekleştirilmiştir. Kullanılan cone aparatının çapı 40 mm, açısı ise 4° olarak seçilmiştir. Ayrıca cone ve plate aparatları arasındaki boşluk 0.15 mm olarak ayarlanmıştır. Reometrenin sıcaklık probu hassasiyeti $\pm 0.1^\circ\text{C}$ dir. Ayrıca toz ve yüksek konsantrasyondaki (%3.0 w/w) elastinin taramalı elektron mikroskopu (SEM) ile görüntülerine bakılmıştır. SEM örneklerinin hazırlık aşamasında, çözeltiler 24 saat buzdolabında bekletildikten sonra, dondurarak kurutma işlemi uygulanmıştır. Tamamen suyundan uzaklaştırıldıktan emin olduktan sonra, numuneler altın kaplama Ion-coater KIC-IA COXEM (Daejeon, South Korea) kullanılarak SEM (15 kV lik JSM 6480-JEOL) görüntüleri elde edilmiştir.

3. Bulgular

Ağırlıkça farklı %0.1-%3.0 oranlarında hazırlanmış sulu elastin çözeltilerinin doğrusal ve de doğrusal olmayan viskoelastik analizleri yapılmıştır. Farklı derişimlerdeki elastin çözeltilerinin kayma streslerinin kayma hızına göre değişimini veren doğrusal olmayan viskoelastik test sonuçları Şekil 1 ve 2' de verilmiştir. Konsantrasyonun artmasıyla, Şekil 1' den görülebileceği üzere, ölçülebilen minimum kayma hızları artış göstermiştir. Bu durum, reometrenin tork limitasyonlarından

kaynaklanmaktadır. Örneğin, % 0.1 (w/w) elastin çözelti derisiminde yaklaşık olarak 0.5 s^{-1} kayma hızının altında, tekrar üretilen data sayısı az olduğundan $0.5\text{-}100 \text{ s}^{-1}$ aralığında çalışılmıştır. Ayrıca artan konsantrasyonla, stres ve kayma hızı arasındaki doğrusal olmayan davranış artış göstermektedir. Bu durum, elde edilen yüksek derişimdeki elastin çözeltilerinin Newtonumsu akış olmayan davranışından kaynaklanmaktadır. Buna benzer bir durum Yapıcı ve diğ. (2014) çalışmasında, yüksek derişimde suspense olan nano-akışkanın davranışına benzemektedir. Özellikle %2.5 ve %3.0 elastin derişimleri için, kayma hızları sıfır yaklaşıırken, akış için gerekli olan minimum eşik stres değerlerine sahip oldukları Şekil 1'de görülmektedir.

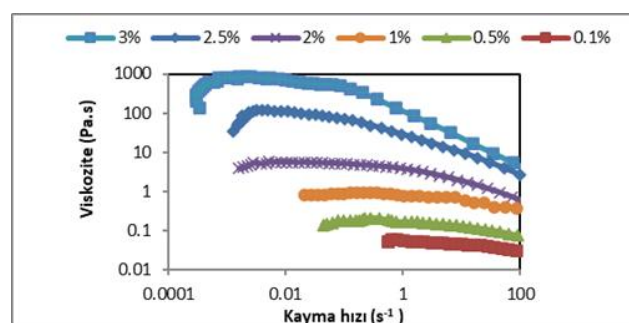


Şekil 1. Farklı derişimlerdeki elastin çözeltilerinin kayma streslerinin kayma hızına göre değişimi

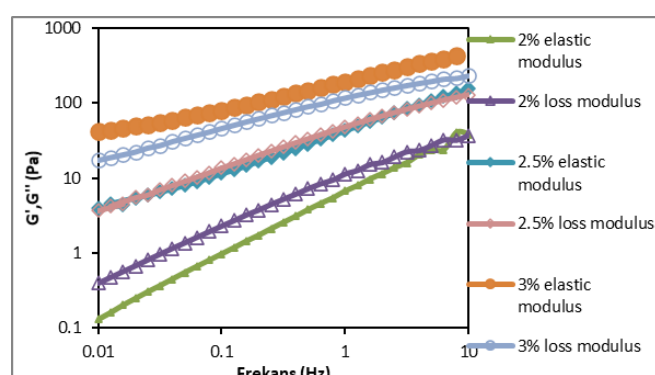
Şekil 2'de elastin viskozitesinin kayma hızı ile olan değişimi verilmiştir. Düşük derişimlerdeki elastin beklenildiği üzere daha düşük viskozitedir. Kayma hızı arttıkça, kayma incelmesi gösteren elastin çift sarmal konformasyonu ve iç içe geçmiş (entagle) molekül etkileşimleri, artan kayma hızı ile bozulmaktadır. Artan derişimlerde, sıfır kayma hızı bölgelerinde, ani viskozite artışına rastlanması moleküler yeniden düzenlenmeden kaynaklanabileceği gibi, mevcut konvansiyonel reometrelerin torku limitasyonlarından da kaynaklanmaktadır (Tezel 2017).

Elastin'in viskoelastik özelliklerini incelemek için elastik ve viskoz (loss) modüllerinin frekansla değişimleri Şekil 3'te incelenmiştir. Bu tür reolojik testler doğrusal reolojik testler olarak bilinmekte olup, öncesinde örnek yapısına zarar vermeyecek olan, güvenli liner viskoelastik bölge taraması yapılmaktadır (Yapıcı ve diğ. 2014, Tezel 2017). Bu çalışmada bu bölge %0.01-%0,5 gerginlik (strain) aralığında tespit edilmiştir. Bu çalışmada %0,3 gerginlik değerinde doğrusal viskoelastik testler gerçekleştirılmıştır.

Elastik ve viskoz modüllerinin frekansla değişimi artan ve de doğrusal şeklindedir. Bu tür davranışlar tipik jel davranışları olarak yorumlanabilemektedir. %2.0 elastin çözeltisinde viskoz özellikler hakimken, %2.5 oranında çözeltide ise elastiklikle dengeli seyreden viskoz özellikler hakimdir. %3'lik elastin çözeltisinde ise elastik özellikler daha ön plana çıkmaktadır. Bu durumun artan elastin derişimle ortamda daha fazla artan elastin molekülleri arasındaki Van der Waals ve hidrojen bağları gibi ikincil moleküler etkileşimlerden kaynaklanabileceği düşünülmektedir. Ayrıca, elastin derişiminin yükselmesi ile çözeltilerdeki kompleks etkileşimler artmaka olup, elastik modül değerlerinde de Şekil 3'deki gibi artışlar görülmektedir.

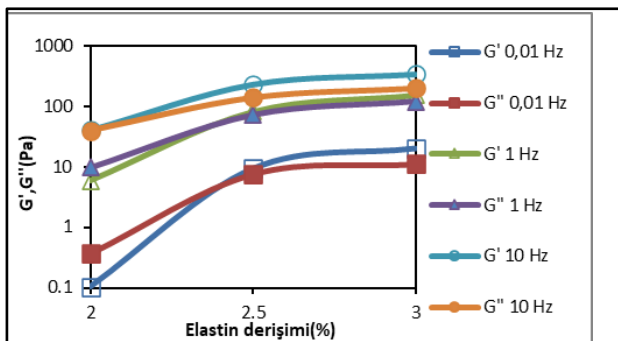


Şekil 2. Elastin viskozitesinin kayma hızı ile değişimi



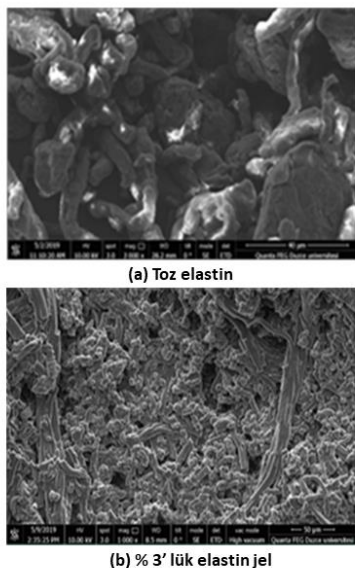
Şekil 3. Elastin'in elastik ve viskoz modüllerinin frekansla değişimi

Doğrusal viskoelastik bölgesinde farklı frekans değerlerinde incelenen elastik ve viskoz modüllerin derişime bağlı değişimleri Şekil 4'de verilmiştir. Artan derişim değerleri ile artan elastik ve viskoz değerleri Şekil 3 ile de uyumludur. Yüksek frekans değerlerinde %2.5'lik ve %3.0'lık elastin viskoz davranışlarına sahip olabilmektedir.



Şekil 4. Elastik ve viskoz modüllerinin elastin derişimi ile değişimi

Şekil 5' de elastin toz halinin ve de diğer derişimlere göre yüksek G' değerine sahip olan %3 lük jel halinin $\times 1000$ büyütme ile SEM görüntülerini verilmiştir. Jel halinde toza göre yapı daha sıkı ve de daha yoğun bir durumdadır. Jel halinde yapı globuler bir yapıdan daha çubuk yapısına dönmektedir. Bu durum daha kompleks olan elastin moleküllerinin arasına giren suyun yapıyı şişirip, hidrojelle döndürmesinden kaynaklanmaktadır. Morfolojik yapıda gözlenen, sık yapı aynı zamanda güclü jel dayanımı olarak da yorumlanabilmektedir (Tezel ve diğ. 2019).



Şekil 5. (a) Elastin (toz) SEM görüntüsü (b) %3 Elastin jelinin SEM görüntüsü

4. Tartışma ve Sonuç

Bu çalışmada, farklı derişimlerde hazırlanan elastin reolojisi incelenmiştir. Elde edilen temel sonuçlar aşağıdaki gibi sıralanabilir:

- Düşük derişim değerlerinde elastin Newtonumsu akış özelliği göstermektedir. Öte yandan, yüksek derişim değerlerinde viskozite değerleri artış göstermiş ve de artan kayma hızları ile azalmıştır.
- Düşük derişimlerde eşik akış streslerine rastlanmamıştır.
- Doğrusal viskoelastik testler sonucunda özellikle yüksek derişimlerde elastik davranışların, viskoz davranışlarına göre daha fazla artış göstermiştir.
- Yüksek elastik modülüne sahip olan %3' lük elastinin SEM görüntülerinde çubuk yapısında şisen hidrojelleşen yapılar gözlenmiş ve de reolojik davranışlarla uyum içerisinde olduğu görülmüştür.
- Özellikle doku çalışmalarında, çığır açıcı malzeme olarak görülen elastinin gelecekte karışım halindeki reolojik davranışlarının incelenmesi planlanmaktadır.

5. Kaynaklar

An B., Kaplan D. L., Brodsky B. 2014 Engineered recombinant bacterial collagen as an alternative collagen-based biomaterial for tissue engineering. *Frontiers in Chemistry*, **2** (40), 1–5.

Chang, D. T., Chai, R., DiMarco, R., Heilshorn, S. C., Cheng, A. G. 2015 Protein-engineered hydrogel encapsulation for 3-D culture of murine cochlea. *Otology & Neurotology*, **36** (3), 531–538.

Cipriani F., Palao B. A., Gonzalez F., Castrillo, V. A., Hernandez J.A., Alonso M., Barcia I.A. A., Sanchez A., Diaz V.G., Pena M.L, and Cabello, J., 2019. An elastin-like recombinamer-based bioactive hydrogel embedded with mesenchymal stromal cells as an injectable scaffold for osteochondral repair, *Regenerative Biomaterials*, **6**, 335-345.

Contessotto P., Orbanić D., Da Costa M., Jin C., Owens, P., Chantepie S., Chinello C., Newell J., Magni F., Papy-Garcia D., Karlsson Niclas G., Kilcoyne M., Dockery P., Rodríguez-Cabello J. C., Pandit A. 2021. Elastin-like recombinamers-based hydrogel modulates post-ischemic remodeling in a non-transmural myocard, *Science Translational Medicine*, **13**, 53-80.

Fung, Y.-C. 1993. Bioviscoelastic Solids. In Biomechanics; Springer: New York, NY, 1993; 242–320.

- Kristensen, J.H. Karsdal, M.A. 2016. Biochemistry of Collagens, Laminins and Elastin Structure, Function and Biomarkers, Structure, Function and Biomarkers, Academic Press, New York, 197-201.
- Miranda-Nieves D., Chaikof L.E., 2017. Collagen and Elastin Biomaterials for the Fabrication of Engineered Living Tissues, *ACS Biomaterial Science Engineering*, 2017, **3**, 694-711.
- Mithieux S. M., Weiss A. S., 2005. Elastin. *Adv. Protein Chemistry*, **70**, 437-461.
- Nuutila K., Peura M., Suomela S., Hukkanen M., Siltanen A., Harjula A., Vuola, J., Kankuri E. 2015. Recombinant human collagen III gel for transplantation of autologous skin cells in porcine full-thickness wounds. *Journal of Tissue Engineering Regenerative Medicine*, **9**, 1386-1393.
- Otto K. M., 2015. Characterization of Highly Concentrated Elastin-Like Polypeptide Solutions: Rheometric Properties and Phase Separation Analysis, Ms. C. Thesis, Cleveland State University, Ohio, 205.
- Patterson, C. E.; Gao, J.; Rooney, A. P.; Davis, E. C. 2002. Genomic Organization of Mouse and Human 65 kDa FK506-Binding Protein Genes and Evolution of the FKBP Multigene Family. *Genomics*, **79**, 881-889.
- Saxena T., Karumbaiah L., Valmikinathan, C. M. 2014. Proteins and Poly (Amino Acids), Elsevier Inc.: New York, 187-208.
- Sugawara-Narutaki A., Yasunaga S., Sugioka Y., and Le H.T., 2019. Rheology of Dispersions of High-Aspect-Ratio Nanofibers Assembled from Elastin-Like Double-Hydrophobic Polypeptides, *International Journal of Molecular Science*, **24**, 2-12.
- Tezel G.B., 2017. Low shear rate rheology of Carbopol Solutions using MRI, *Material Science: Indian Journal*, **15**, 121-129.
- Tezel G., Uzuner, S., Akdemir Evrendilek G. 2019. Structural and Rheological Properties of Gelatin-Carrageenan Mixtures, *El-Cezeri Journal of Science and Engineering*, **6**, 525-532.
- Yapıcı K., Cakmak N.K, İlhan N., Uludag Y., 2014. Rheological characterization of polyethylene glycol based TiO₂ nanofluids, *Korea-Australia Rheology Journal*, **26**, 355-363.
- Xu D., Asai D., Chilkoti A., and Craig S.L. 2012. Rheological Properties of Cysteine-Containing Elastin-Like Polypeptide Solutions and Hydrogels, *BioMacromolecules*, **13**, 2315-2321.
- Wen Q., Mithieux S.M., and Weiss S. A. 2020. Elastin biomaterials in Dermal Repair, *Trends in Biotechnology*, **38**, 280-291.